文章编号: 1001-3555(2022)04-0313-08

# MnZSM-5 催化剂上 NH<sub>3</sub>-SCR 反应机理的研究

李宝忠1\*,王宽岭1\*,李英霞2

- (1. 中国石油化工股份有限公司 大连石油化工研究院, 辽宁 大连 116045;
  - 2. 北京化工大学 化工资源有效利用国家重点实验室, 北京 100029)

摘要:通过密度泛函理论(DFT)计算对 Mn/ZSM-5 催化剂上  $NH_3$ -SCR(Selective Catalytic Reduction)反应机理进行了理论研究. 一种为气态 NO 直接参与反应的 E-R 机理,NO 分子与 [  $NH_2$  ] 反应生成中间体 [  $NH_2NO$  ],该反应路径的能垒为 185.05 kJ/mol; 另一种为吸附态 NO 参与反应的 L-H 机理,[ NO ] 与 [  $NH_3$  ] 反应生成 [  $NH_2NO$  ],该反应路径的能垒为 190.27 kJ/mol. 在一定温度下 Mn/ZSM-5 催化剂上  $NH_3$ -SCR 两种机理的反应能垒十分接近,遵循两种机理的反应能够同时进行.

关键词: NH3-SCR; 脱硝; 催化剂

中图分类号: 0643 文献标志码: A **DOI**: 10.16084/j.issn1001-3555.2022.04.002

化石燃料的燃烧过程中会产生大量的氮氧化物(NO<sub>x</sub>),特别是工业生产中窑炉的燃烧和机动车尾气排放,这对人体和环境造成了严重的影响,因此NO<sub>x</sub>排放控制的重要性不容忽视<sup>[1-2]</sup>.NO<sub>x</sub>主要包括NO、NO<sub>2</sub>、N<sub>2</sub>O、N<sub>2</sub>O<sub>5</sub>等,其中NO为主要成分,约占90%~95%,目前NH<sub>3</sub>选择性催化还原(NH<sub>3</sub>-SCR)是最有效且应用最广的NO<sub>x</sub>控制方法<sup>[3-5]</sup>.NH<sub>3</sub>-SCR技术的核心就是脱硝催化剂,锐钛矿TiO<sub>2</sub>负载氧化钒是NH<sub>3</sub>-SCR反应的传统催化剂,但由于氧化钒具有毒性,反应条件要求较高,应用受到限制.因此,开发绿色环保、高效无毒、来源广泛的新型催化剂是脱硝反应的技术关键,其中,锐钛矿TiO<sub>2</sub>负载型过渡金属和稀土金属基低温脱硝催化剂是研究的热点,理论和应用研究取得了重大进展<sup>[6-7]</sup>.

近些年,分子筛负载金属氧化物催化剂显示出高催化活性和N₂选择性,作为NH₃-SCR反应催化剂的潜力股受到广泛关注<sup>[8-10]</sup>. Mn因半充满状态的电子排布具有较强的氧化还原能力,负载型锰基催化剂在NH₃-SCR反应中更是体现出优异的催化能力.较多研究者对分子筛负载锰基催化剂在NH₃-SCR反应中的应用进行了大量实验研究<sup>[11-13]</sup>,如,Lou等<sup>[11]</sup>研究了焙烧温度对采用沉淀法制备出的Mn/ZSM-5催化剂表面活性物种的影响,结果表明300℃时

可得到活性最高的Mn/ZSM-5,该温度下Mn主要以Mn<sub>3</sub>O<sub>4</sub>和非晶型MnO<sub>2</sub>形态存在于催化剂表面,其在表面的富集使得催化剂活性优越.研究证明Mn基催化剂具有良好的催化活性和催化选择性,但在反应机理研究方面需要进一步研究,NO和NH<sub>3</sub>在催化剂上吸附状态、形成的重要中间体、遵循的反应机理需要明晰,反应过程中的中间产物活化转化过程仍需探究.我们将从分子层面上对Mn/ZSM-5催化剂上NH<sub>3</sub>-SCR反应机理进行理论研究.

NH<sub>3</sub>-SCR 反应是指 NO<sub>x</sub> 在还原剂作用下反应生成无污染的 N<sub>2</sub>和 H<sub>2</sub>O, 反应方程式见(1)、(2):

$$4NO + O_2 + 4NH_3 \rightarrow 4N_2 + 6H_2O$$
 (1)

$$2NO + 2NO_2 + 4NH_3 \rightarrow 4N_2 + 6H_2O$$
 (2)

Mao 等<sup>[14]</sup>对 Cu-SAPO-34 催化剂上 NH<sub>3</sub>-SCR 反应机理进行了理论研究,认为该反应是一个氧化还原过程,伴随着铜离子的氧化还原,NO<sub>x</sub>被还原为 N<sub>2</sub>和H<sub>2</sub>O. 经大量实验和理论研究工作,目前得到广泛认可的机理分为两种,Eley-Rideal(E-R) 机理和 Langmuir-Hinshelwood(L-H) 机理<sup>[15-16]</sup>,E-R 机理为气态 NO 直接加入反应,而L-H 机理为气态 NO 先在活性位上吸附活化,而后再在 NH<sub>3</sub>-SCR 反应中发挥作用.E-R 机理和L-H 机理的本质差异在于 NO 分子参加反应的形式,如气态、吸附态等.

收稿日期: 2022-04-05; 修回日期: 2022-06-10.

基金项目: 中国石油化工股份公司资助项目(320040)(Project supported by China Petroleum and Chemical Corporation(320040)).

作者简介: 李宝忠(1969-), 男, 高级工程师, 主要从事石化环保技术(Li Bao-zhong(1969-), male, senior engineer, mainly engaged in the petrochemical environmental protection technology).

<sup>\*</sup> 通信联系人, E-mail: wangkuanling.fshy@sinopec.com; E-mail: libaozhong.fshy@sinopec.com.

Yu等<sup>[17]</sup>通过实验的方式对分子筛 SAPO-34负载 MnO<sub>x</sub>催化剂上NH<sub>3</sub>-SCR 反应机理进行了系列研究,认为NH<sub>3</sub>-SCR 反应中还原剂NH<sub>3</sub>吸附活化后形成的[NH<sub>2</sub>]是反应的关键,气相NO与吸附态[NO]均能与之反应,因此认为可能存在遵循 E-R 机理或L-H 机理的两条反应路径. Chen等<sup>[18]</sup>对采用凝胶法制备的 Mn/TiWO<sub>x</sub>和 Mn/TiO<sub>2</sub>催化剂上 NH<sub>3</sub>-SCR 反应进行研究时,发现吸附态的 NH<sub>3</sub> 比吸附态的 NO<sub>x</sub>消耗得快得多,推断吸附态的 NH<sub>3</sub>更易与气态 NO<sub>x</sub>反应,即反应遵循 E-R 机理.

因实验存在一定局限性,无法从分子层面剖析反应机理,因此可在实验的基础上,从微观层面对NH<sub>3</sub>-SCR反应可能存在的反应机理进行理论计算,加深研究者对其理解和掌握,从而更有针对性和目的性地开发无毒高效的新型催化剂.

### 1 实验部分

所有计算均利用高斯09程序<sup>[19]</sup>中密度泛函理论(DFT)B3LYP进行,活性组分Mn使用SDD基组,其余原子使用6-31G\*\*基组.出于计算耗时和精度考虑,载体ZSM-5分子筛计算模型截取直筒形双5T元环<sup>[20-22]</sup>,如图1(a)所示.理论研究表明ZSM-5中T12位活性性质独特,硅铝取代后得到的结构最优<sup>[17,23-25]</sup>,该载体中T9、T12位上进行硅铝取代,使其带有2个负电荷,Si、Al上悬空键由H饱和,Si—H键长0.1460 nm,O—H键长0.1000 nm,为保持分子筛构型稳定,计算过程中,所有Si—H和O—H键处于固定状态,这模拟了沸石框架有限的刚性<sup>[20,26]</sup>。(MnO)<sup>2+</sup>通过桥氧负载在ZSM-5上,整个体系呈中性,模型见图1(b)<sup>[20]</sup>.模拟过程中所有过渡态结构均通过IRC验证.

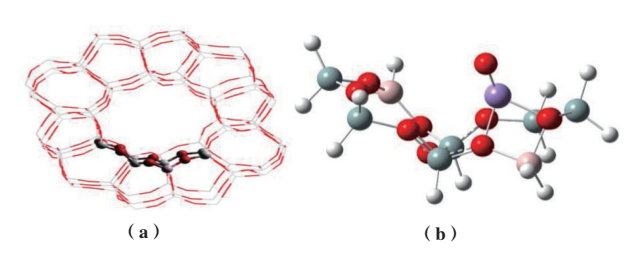


图 1 优化后结构 Fig.1 Optimized structure (a)ZSM-5;(b)Z<sup>2</sup>「MnO ] <sup>2+</sup>

反应气体分子的吸附能如式(3) 所示:

$$\Delta E_{ad} = E_{molecule/cluster} - E_{cluster} - E_{molecule}$$
 (3)

式中 $E_{molecule/cluster}$ 为带有吸附分子的团簇的能量, $E_{cluster}$ 为催化剂 $Z^{2-}[MnO]^{2+}$ 的能量, $E_{molecule}$ 为吸附分子 $NH_3$ 、NO等的能量.

## 2 结果与讨论

#### 2.1 气体分子在Mn/ZSM-5催化剂上的吸附

进一步优化了气态NH<sub>3</sub>和NO分别在Z<sup>2</sup>[MnO]<sup>2</sup>模型上的吸附,具体结果如图2所示,分别记为Z<sup>2</sup>[MnO-NH<sub>3</sub>]<sup>2</sup>+和Z<sup>2</sup>-[MnO-NO]<sup>2</sup>+, 计算了吸附后的吸附能(Eads, kJ/mol)、键长(d, nm)和Mulliken(q, e)电荷,具体结果如表1所示. 计算结果说明: NH<sub>3</sub>通过N端吸附于Z<sup>2</sup>-[MnO]<sup>2</sup>+上,Mn—N键长0.202 nm,吸附放热243.69 kJ/mol. 电子由NH<sub>3</sub>向催化剂表面转移的数量为0.246 e, N原子和H原子的相互作用由于失去电子而变弱,N—H键的键长发生微量的伸长,N—H键被活化. NO通过N端在Z<sup>2</sup>-[MnO]<sup>2</sup>+上吸附,Mn—N键长0.169 nm,吸附放热210.09 kJ/mol. 电子由NO向催化剂表面转移数量为0.128 e, 失电子后,N原子和O原子的相互作用减弱,N—O键(0.115 nm)发生微量增长至0.117 nm,被活化,但吸附强度低于NH<sub>3</sub>. 因此,在Z<sup>2</sup>-[MnO]<sup>2</sup>+催化剂表面,

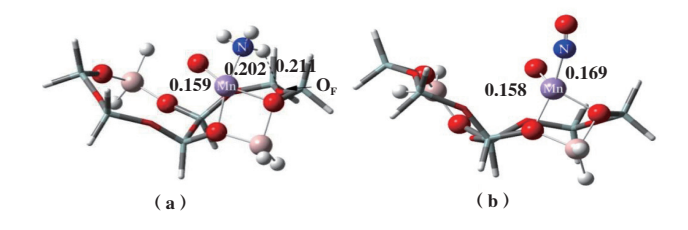


图 2 优化后的分子吸附模型

Fig.2 Optimized molecular adsorption model (a) Z^-[ MnO-NH $_3$  ] ^2+; (b) Z^-[ MnO-NO ] ^2+

NH3更易吸附活化.

#### 2.2 NH<sub>3</sub>-SCR 反应机理在Mn/ZSM-5催化剂上的研究

根据表1中气体分子的吸附结果可知, NH<sub>3</sub>在催化剂上的吸附强度略高于NO,则可认为在Z<sup>2-</sup>[MnO]<sup>2+</sup>上起始步骤为NH<sub>3</sub>的吸附.基于此,我们分别遵循E-R、L-H机理对Z<sup>2-</sup>[MnO]<sup>2+</sup>上的脱硝反应机理进行探究.

#### 2.2.1 遵循E-R机理的路径1

按照 E-R 机理设计并完善反应路径 1, 即: NH<sub>3</sub>-(ads)  $\rightarrow$  NH<sub>2</sub>(ads)  $\rightarrow$  NH<sub>2</sub>(ads)  $\rightarrow$  NH<sub>2</sub>NO-(ads)  $\rightarrow$  NHNOH(ads)  $\rightarrow$  N<sub>2</sub>+H<sub>2</sub>O, 涉及的基元反应如式(4)-(9) 所示:

#### 表1 NH<sub>3</sub>、NO分别在Z<sup>2</sup>[MnO]<sup>2+</sup>吸附后的键长(nm)、Mulliken 电荷(q, e) 和吸附能(kJ/mol)

 $Table 1 \ Bond \ length \ (d, nm), \ Mulliken \ charge \ (q, e) \ and \ adsorption \ energy \ (Eads, kJ/mol) \ of \ NH_3 \ and \ NO \ after \ Z^2-[MnO]^{2+} \ adsorption$ 

	Z <sup>2</sup> -[ MnO ] <sup>2+</sup>	$Z^{2}$ [ MnO-NH <sub>3</sub> ] <sup>2+</sup>	Z <sup>2-</sup> [ MnO-NO ] <sup>2+</sup>
$ m d_{Mn-N}$	-	0.202	0.169
$ m d_{Mn ext{-}O}$	0.159	0.159	0.158
$ m d_{O_{F-H}}$	-	0.212	-
$ m q_{ m NH_3/NO}$	0.000	0.246	0.128
${f q}_{ m Mn}$	0.734	0.646	0.605
$q_0$	-0.210	-0.212	-
$\mathrm{d_{O}}_{\mathrm{F}}$	-0.833	-0.872	-
$ m E_{ads}$	-	-243.690	-210.090

(5)

(7)

 $Z^2$ [ MnO ]  $^{2+}$ +NH $_3$   $\rightarrow$   $Z^2$ [ MnO-NH $_3$  ]  $^{2+}$ 

 $Z^2$ [ MnO-NH<sub>3</sub> ]  $^{2+}$   $\rightarrow$   $Z^2$ [ MnOH-NH<sub>2</sub> ]  $^{2+}$ 

 $Z^{2}$ [ MnOH-NH<sub>2</sub>]  $^{2+}$ +NO  $\rightarrow$   $Z^{2-}$ [ MnOH-NH<sub>2</sub>NO]  $^{2+}$  (6)

 $Z^{2-}[MnOH-NH_{2}NO]^{2+} \longrightarrow Z^{2-}[MnOH-NHNOH]^{2+}$ 

(4)  $Z^2 \lceil MnOH-NHNOH \rceil^{2+} \rightarrow Z^2 \lceil MnOH-N_2-H_2O \rceil^{2+}$  (8)

 $Z^2 \center{[MnOH-N_2-H_2O\ ]^{2+}} \rightarrow Z^2 \center{[MnOH\ ]^{2+}} + N_2 + H_2O \ \ (9)$ 

式(6)中NO气体分子直接与[NH2]反应,图3

为Z<sup>2-</sup>[MnO]<sup>2+</sup>上遵循E-R机理的路径所涉及到的

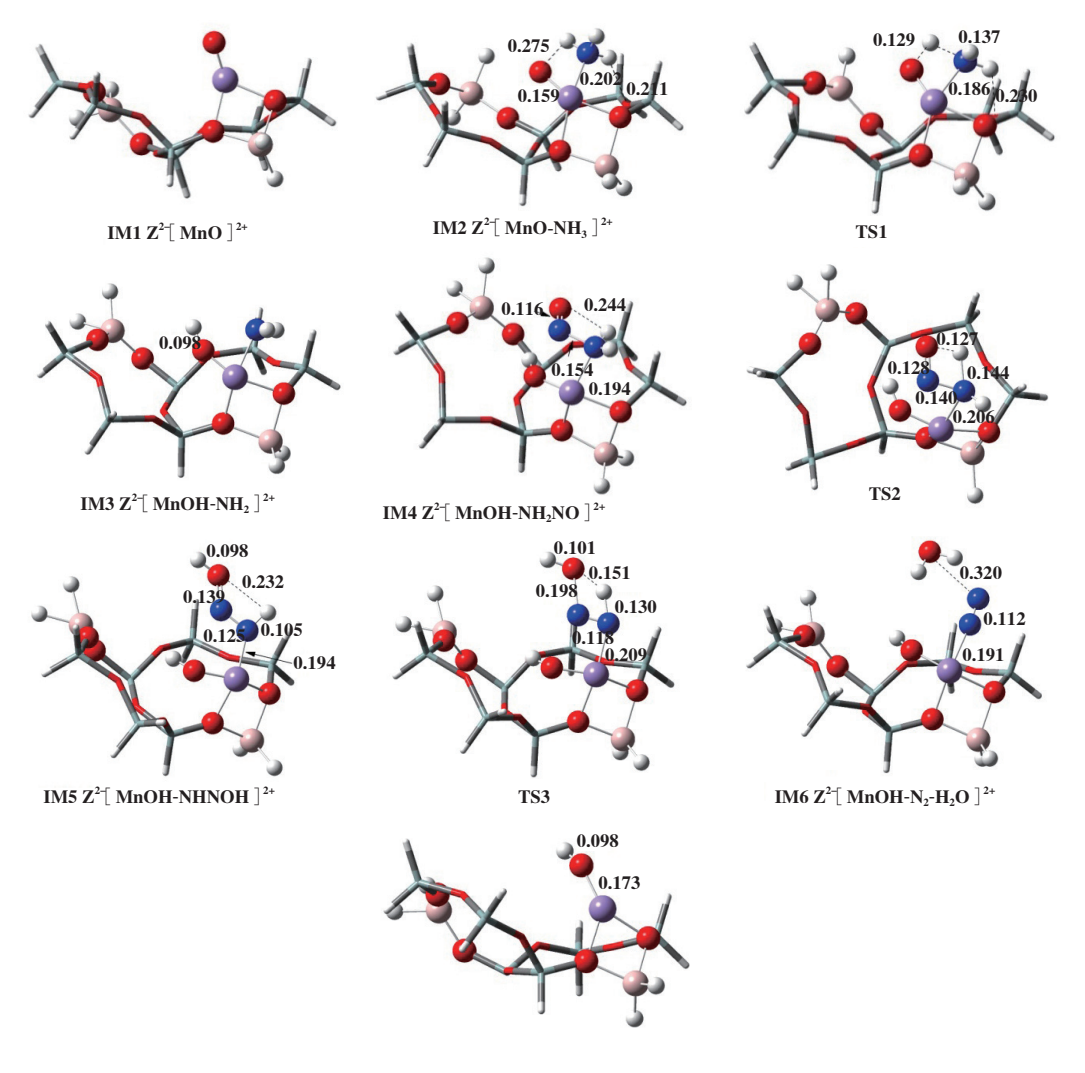


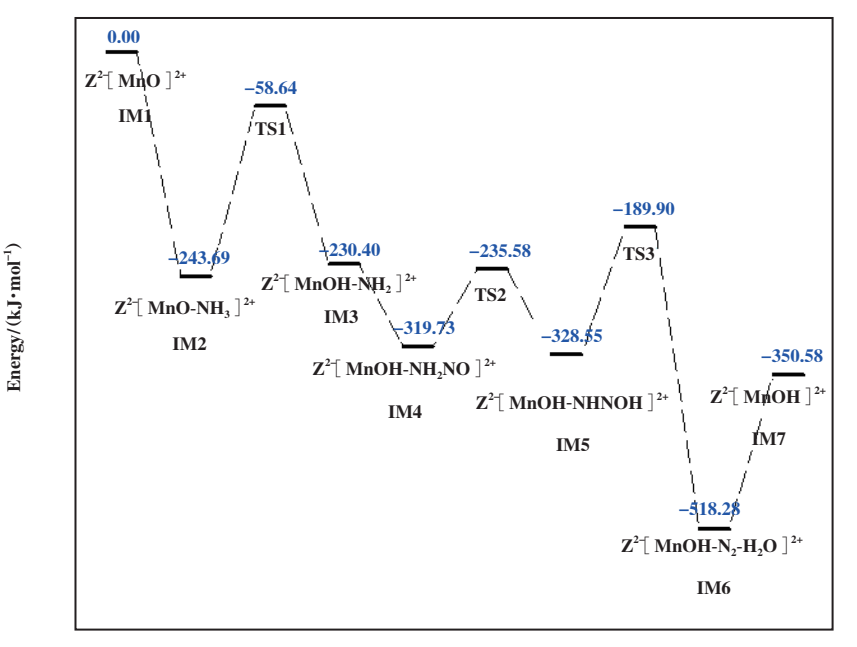
图3 遵循E-R机理的反应路径1

Fig.3 Reaction path 1 following E-R mechanism

所有物种的优化结构,图4是此反应路径对应的能 垒图,表2是各基元反应的反应热和能垒.

反应始于NH<sub>3</sub>分子的吸附,NH<sub>3</sub>以N端吸附于Mn上,形成稳定构型Z<sup>2-[</sup>MnO-NH<sub>3</sub>]<sup>2+</sup>(IM2),N-Mn键长0.202 nm,放热243.69 kJ/mol.[NH<sub>3</sub>]中一

个H原子经过过渡态TS1转移至末端氧上形成 $Z^2$  [MnOH-NH<sub>2</sub>]<sup>2+</sup>(IM3), 其中N—H键距离由0.102拉长至0.137最后为0.351 nm. 而末端0与H形成0—H键, 其距离由起始的0.275缩短至0.129 nm, 最终缩短为0.098 nm, 该过渡态反应能垒为185.05 kJ/



**Reaction Coordiate** 

图 4 遵循 E-R 机理的反应路径 1 的能垒图

Fig.4 Energy barrier diagram of reaction path 1 following E-R mechanism

#### 表2 遵循 E-R 机理的反应路径1的所有基元反应

Table 2 All elementary steps of reaction path 1 following E-R mechanism

Elementary reaction	Heat of reactions $/(k \mathbf{J} \cdot mol^{-1})$	Energy barrier /(kJ·mol <sup>-1</sup> )
$Z^{2-}[MnO]^{2+} + NH_3 \rightarrow Z^{2-}[MnO-NH_3]^{2+}$	-243.69	_
$Z^2 \hbox{\tt [MnO-NH}_3 ]^{2+} \!\!\!\!\!\! \to TS1 \to Z^2 \hbox{\tt [MnOH-NH}_2 ]^{2+}$	13.29	185.05
Z²-[ MnOH-NH $_2$ ] ²+ NO $\rightarrow$ Z²-[ MnOH-NH $_2$ NO ] ²+	-89.33	-
Z²-[ MnOH-NH <sub>2</sub> NO ] ²+ → TS2 → Z²-[ MnOH-NHNOH ] ²+	-8.82	84.14
Z²-[ MnOH-NHNOH ] ²+ $\rightarrow$ TS3 $\rightarrow$ Z²-[ MnOH-N₂-H₂O ] ²+	-189.73	138.65
Z²-[ MnOH-N <sub>2</sub> -H <sub>2</sub> O ] ²+ $\rightarrow$ Z²-[ MnOH ] ²+ + N <sub>2</sub> + H <sub>2</sub> O	167.70	-

mol. 随后与气相中NO分子反应, 生成N-N键, 键长 0.154 nm, 形成重要中间体  $Z^2$ -[ MnOH-NH $_2$ NO ]  $^{2+}$  (IM4). 在氢键作用下, 中间体  $Z^2$ -[ MnOH-NHNOH ]  $^{2+}$  (IM5) 和  $Z^2$ -[ MnOH-N $_2$ -H $_2$ O ]  $^{2+}$  (IM6) 相继形成, 因氢键作用的存在, 其结构稳定, 通过过渡态 TS2 和 TS3, N-H键断裂, O-H键生成, 两步基元反应需克服的反应能垒分别为 84.14 和 138.65 kJ/mol, 形成的  $N_2$  和

 $H_2O$  吸附在催化剂表面. 最后  $Z^2$ -[  $MnOH-N_2-H_2O$  ]  $^{2+}$  体系吸收 167.70 kJ/mol 热量后,  $N_2$ 和  $H_2O$  脱附, 形成  $Z^2$ -[ MnOH ]  $^{2+}$  (IM7).

#### 2.2.2 遵循L-H机理的路径2

根据L-H反应机理设计并完善反应路径2, 即:  $NH_3(ads) \rightarrow NH_3(ads) + NO(ads) \rightarrow NH_2NO(ads) \rightarrow NHNOH(ads) \rightarrow N_2+H_2O$ , 以分析 $Z^{2-}[MnO]^{2+}$ 上的

SCR 反应机理, 涉及的基元反应如式(10)-(15) 所示:  $Z^{2-}[MnO]^{2+}+NH_3\rightarrow Z^{2-}[MnO-NH_3]^{2+}$ (10) $Z^{2-}[MnO-NH_3]^{2+}+NO\longrightarrow Z^{2-}[MnO-NH_3-NO]^{2+}$ (11)

 $Z^{2-}[MnO-NH_3-NO]^{2+} \rightarrow Z^{2-}[MnOH-NH_2NO]^{2+}$ (12)

 $Z^{2}$ [ MnOH-NH<sub>2</sub>NO ] <sup>2+</sup>  $\rightarrow$   $Z^{2}$ [ MnOH-NHNOH ] <sup>2+</sup> (13)

 $Z^2 \lceil MnOH-NHNOH \rceil^{2+} \rightarrow Z^2 \lceil MnOH-N_2-H_2O \rceil^{2+}$ (14)

 $Z^{2-}[MnOH-N_2-H_2O]^{2+} \rightarrow Z^{2-}[MnOH]^{2+} + N_2 + H_2O$  (15)

式(11)中NH3和NO共同在Z2-[MnO]2+上进行 吸附,明显不同于反应路径1中气相NO直接参与反 应,并影响后续反应中的构型.图5为Z<sup>2-[MnO]2+</sup> 上遵循L-H机理的路径所涉及到的所有物种的优化 结构. 反应路径2中所涉及到的系列稳定结构包括: 反应物、过渡态、反应中间体和产物,图6是此反应 路径对应的能垒图,表3是各基元反应的反应热和

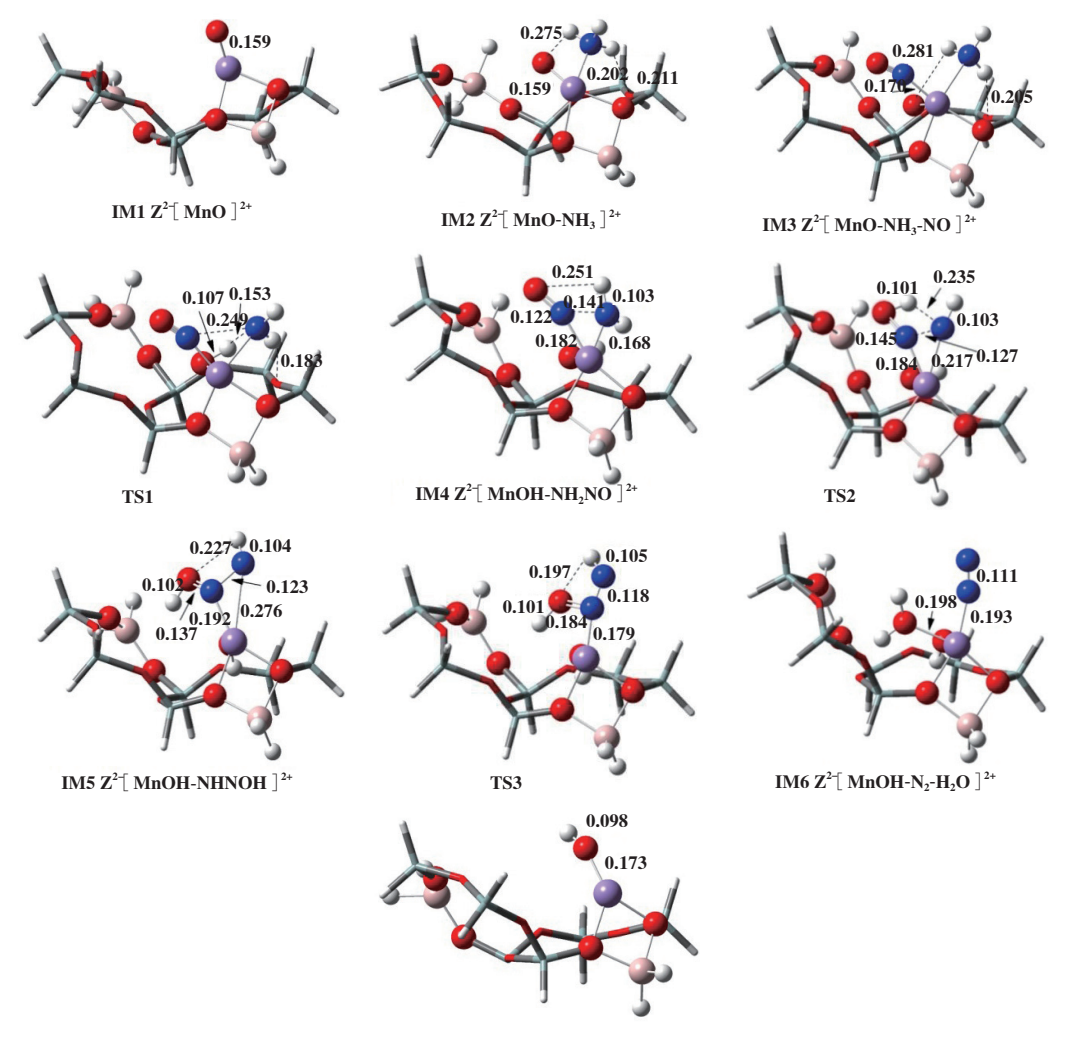


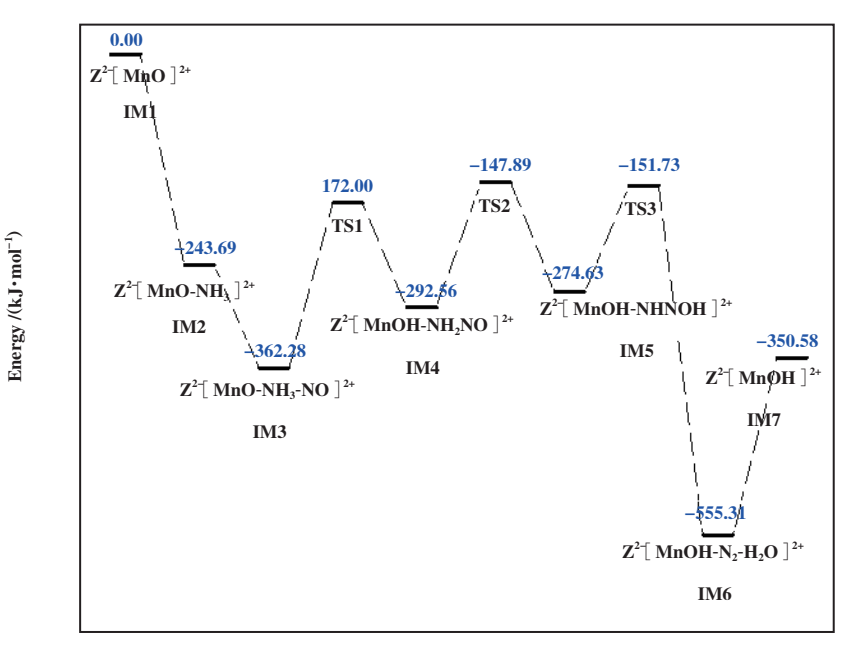
图5 遵循L-H机理的反应路径2

Fig.5 Reaction path 2 following L-H mechanism

能垒.

反应以NH,分子的吸附为起始步骤,NH,通过 N端吸附于Mn上,形成Z<sup>2-[MnO-NH<sub>3</sub>]<sup>2+(IM2)</sup>,N-</sup> Mn键长0.202 nm, 放热243.69 kJ/mol. 然后NO通过 N端在Mn位上吸附生成Z<sup>2-[MnO-NH3-NO]<sup>2+</sup>(IM3),</sup> 其中Mn-N键长0.170 nm, 放热118.59 kJ/mol. 另外, NO可能通过O端吸附在Mn上,但放热较少,形成的 结构不稳定,不易与NH、反应,因此NO选择以N端

吸附. 通过过渡态TS1形成重要中间体Z2-「MnOH-NH<sub>2</sub>NO ]<sup>2+</sup>(IM5), 反应能垒为 190.27 kJ/mol, [NH<sub>3</sub>]中 N-H断裂, 键长由 0.103 伸长至 0.153 最后为 0.301 nm. 而末端 0 与 H 的距离由 0.281 缩短至 0.107 最后 为0.097 nm, 形成O-H键. 虽然该能垒较高, 但NH,和 NO的吸附放出大量热量, 有利于该反应的进行. 通 过过渡态TS2和TS3, 中间体Z<sup>2-[MnOH-NHNOH]<sup>2+</sup></sup> (IM5)和 $Z^{2-}$ [MnOH-N $_2$ -H $_2$ O] $^{2+}$ (IM6)相继形成. 反应



**Reaction Coordiate** 

图 6 遵循 L-H 机理的反应路径 2 的能垒图

Fig.6 Energy barrier diagram of reaction path 2 following L-H mechanism

表3 遵循L-H机理的反应路径2的所有基元反应

Table 3 All elementary steps of reaction path 2 following L-H mechanism

Elementary reaction	Heat of reactions $/(kJ \cdot mol^{-1})$	Energy barrier $/(k \mathbf{J} \cdot mol^{-1})$
$Z^2$ [ MnO ] <sup>2+</sup> + NH <sub>3</sub> $\rightarrow$ $Z^2$ [ MnO-NH <sub>3</sub> ] <sup>2+</sup>	-243.69	_
Z²-[ MnO-NH <sub>3</sub> ] ²+ NO $\rightarrow$ Z²-[ MnO-NH <sub>3</sub> -NO ] ²+	-118.59	-
$Z^2 \hbox{$\lceil$ MnO-NH_3-NO $\rceil$}^{2+} \to TS1 \to Z^2 \hbox{$\lceil$ MnOH-NH_2NO $\rceil$}^{2+}$	68.89	190.27
$Z^2 \lceil \ MnOH-NH_2NO \ ]^{2*} \longrightarrow TS2 \longrightarrow Z^2 \lceil \ MnOH-NHNOH \ ]^{2*}$	17.93	144.67
Z²-[ MnOH-NHNOH ]²+ → TS3 → Z²-[ MnOH-N₂-H₂O ]²+	-280.69	122.89
Z²-[ MnOH-N₂-H₂O ] ²+ $\rightarrow$ Z²-[ MnOH ] ²+ + N₂ + H₂O	204.74	-

能垒分别为144.67和122.89 kJ/mol, NH<sub>2</sub>NO中的两个H相继和O接近,继而发生N—H键的断裂,生成O—H键,反应产物N<sub>2</sub>和H<sub>2</sub>O都吸附于Mn上.与反应路径1相同,过渡态TS2和TS3中形成类四元环结构,稳定性强.最后 $Z^{2-}[MnOH-N_2-H_2O]^{2+}$ 体系吸收204.74 kJ/mol热量后,N<sub>2</sub>和H<sub>2</sub>O脱附,形成 $Z^{2-}[MnOH]^{2+}(IM7)$ .

## 3 结论

研究了 $NH_3$ -SCR在 $Z^2$ -[MnO] $^2$ +分子筛催化剂表面的反应机理.通过密度泛函理论模拟计算了可

能存在的两种反应路径,分别遵循E-R机理和L-H 机理,得出以下主要结论:

- 1. 相较 NO, NH, 在 Z<sup>2-</sup>[MnO]<sup>2+</sup>上的吸附结构 最稳定, 因此在脱硝反应中易优先发生;
- 2. 路径1遵循E-R 机理, NO气体分子直接参与反应,与[NH<sub>2</sub>]形成中间体[NH<sub>2</sub>NO],经过构型变化形成中间体[NHNOH],最终分解为 $N_2$ 和 $H_2O$ ,该反应过程中速控步为 $Z^2$ [MnO-NH<sub>3</sub>] $^{2+} \rightarrow Z^2$ [MnOH-NH<sub>2</sub>] $^{2+}$ ,反应能垒为181.20 kJ/mol;
- 3. 路径2遵循L-H机理, NH<sub>3</sub>与NO分子都先吸附在催化剂表面,活化后的吸附态[NO]与[NH<sub>2</sub>]

反应形成中间体[ $NH_2NO$ ],后续机理与路径1相近,该反应过程中速控步为 $Z^{2-}[MnO-NH_3-NO]^{2+} \rightarrow Z^{2-}[MnOH-NH_3NO]^{2+}$ ,反应能垒为186.97 kJ/mol;

4. 反应路径1中的速控步及其他基元反应需要克服的能垒相对较低,则Z²-[MnO]²+上NH₃-SCR反应更倾向于遵循E-R机理. 反应路径2中速控步的能垒较高,需依靠NH₃和NO的吸附热量来克服,则低温下Z²-[MnO]²+催化剂上NH₃-SCR反应易通过L-H机理进行. 同时遵循E-R机理和L-H机理的反应路径的速控步骤能垒相近,在一定温度下可以同时遵循两种机理进行反应.

#### 参考文献:

- [1] a. Xie Wang-wang(谢旺旺), Zhou Guang-he(周广贺), Zhang Xiao-hong(张晓虹), et al. Research progress of attapulgite application in flue gas SCR denitration catalytic reaction (凹凸棒石在烟气 SCR 脱硝催化反应中的应用研究进展)[J]. J Mol Catal(China) (分子催化), 2020, 34(6): 546–558.
  - b. Zhang Juan(张 娟), Wu Peng(吴 鵬), Li Guo-bo(李国 波), *et al.* Study on the selective catalytic reduction of NO by NH<sub>3</sub> over silicon-free residue carbon catalysts doped with Mn-Ce-M(Mn-Ce-M复合改性无硅残渣炭催化剂的 NH<sub>3</sub> 选择性还原NO性能研究)[J]. *J Mol Catal (China)*(分子催化), 2022, **36**(3): 207–220.
  - c. Ding Xin(丁 鑫), Li Guo-bo(李国波), Huang Jun(黄 俊), *et al.* Study on denitration reaction mechanism of Pd modified multiactive site catalyst NH<sub>3</sub>-SCR(Pd改性多活性位点催化剂NH<sub>3</sub>-SCR 脱硝反应机理研究)[J]. *J Mol Catal(China)*(分子催化), 2022, **36**(1): 1–11.
- [2] Qiao Ming(乔明), Zhang Ji-yi(张继义), Zong Lu-yao(宗路遥), *et al.* Research progress in catalytic denitrification performance: The catalyst type, preparation methods and activity(催化脱硝技术研究进展—催化剂的种类、制备方法及催化活性)[J]. *J Mol Catal(China)*(分子催化), 2020, **34**(2): 165–181.
- a. Wu Z, Jiang B, Liu Y, *et al*. Experimental study on a low-temperature SCR catalyst based on MnO<sub>2</sub>/TiO<sub>2</sub> prepared by sol-gel method[J]. *J Hazard Mater*, 2007, **145**(3): 488–494.
  b. Li Ke-zhi(李柯志), Luo He(罗河), Zhao Ran(赵冉),
  - b. Li Ke-zhi(李柯志), Luo He(罗河), Zhao Ran(赵 冉), et al. Research on the influence of calcined titanium dioxide to the newly-produced selective catalytic reduction catalyst and the mechanism(具焙烧服役史钛白粉对新制脱硝催化剂活性影响机制研究)[J]. J Mol Catal(China)(分

- 子催化), 2020, 34(5): 415-424.
- [4] Tang Nan (唐南), Huang Yan (黄妍), Li Yuan-yuan(李元元), et al. Low temperature selective catalytic reduction of NO with NH<sub>3</sub> over Fe-Mn catalysts prepared by hydrothermal method(水热法制备铁锰催化剂脱硝性能及抗水抗硫性能研究) [J]. J Mol Catal(China) (分子催化), 2018, **32**(3): 240-248.
- [5] Mhamdi M, Ghorbel A, Delahay G. Influence of the V+Mo/Al ratio on vanadium and molybdenum speciation and catalytic properties of V-Mo-ZSM-5 prepared by solid-state reaction [J]. J Catal, 2009, 142(3): 239–244.
- [6] Han L, Cai S, Gao M, et al. Selective catalytic reduction of NO<sub>x</sub> with NH<sub>3</sub> by using novel catalysts: State of the art and future prospects [J]. Chem Rev, 2019, 119(19): 10916–10976.
- [7] Yang Yang(杨 洋), Hu Zhun(胡 淮), Mi Rong-li(米容立), et al. Effect of Mn loading on the catalytic performance of nMnO<sub>x</sub>/TiO<sub>2</sub> catalyst for NH<sub>3</sub>-SCR(Mn负载量对nMnO<sub>x</sub>/TiO<sub>2</sub>催化剂NH<sub>3</sub>-SCR催化性能的影响)[J]. J Mol Catal(China)(分子催化), 2020, **34**(4): 313–325.
- [8] Delahay G, Valade D, Guzman-Vargas A, et al. Selective catalytic reduction of nitric oxide with ammonia on Fe-ZSM-5 catalysts prepared by different methods [J]. Appl Catal B Environ, 2005, 55(2): 149–155.
- [9] Shi X, He H, Xie L. The effect of Fe species distribution and acidity of Fe-ZSM-5 on the hydrothermal stability and SO<sub>2</sub> and hydrocarbons durability in NH<sub>3</sub>-SCR reaction[J]. Chin J Catal, 2015, 36(4): 649-656.
- [ 10 ] Falsig H, Vennestrom P N R, Moses P G, et al. Activation of oxygen and NO in NH<sub>3</sub>-SCR over Cu-CHA catalysts evaluated by density functional theory[ J ]. Top Catal, 2016, 59(8/9): 861–865.
- [ 11 ] Lou X, Liu P, Li J, et al. Effects of calcination temperature on Mn species and catalytic activities of Mn/ZSM-5 catalyst for selective catalytic reduction of NO with ammonia[ J ]. Appl Surf Sci, 2014, 307(6): 382–387.
- [ 12 ] Mu W, Zhu J, Zhang S, et al. Novel proposition on mechanism aspects over Fe-Mn/ZSM-5 catalyst for NH<sub>3</sub>-SCR of NO<sub>x</sub> at low temperature: Rate and direction of multifunctional electron-transfer-bridge and in-situ DRIFTs analysis[ J ]. Catal Sci Technol, 2016, 6(20): 7532-7548.
- [ 13 ] Li J, Yang C W, Zhang Q, et al. Effects of Fe addition on the structure and catalytic performance of mesoporous Mn/Al-SBA-15 catalysts for the reduction of NO with ammonia[ J ]. Catal Commun, 2015, 62(3): 24–28.
- [ 14 ] Mao Y, Wang Z, Wang H F, et al. Understanding catalytic

- reactions over zeolites: A density functional theory study of selective catalytic reduction of  $NO_x$  by  $NH_3$  over Cu-SAPO-34 [J]. *ACS Catal*, 2016, **6**(11): 7882–7891.
- [ 15 ] Kijlstra W S, Brands D S, Poels E K, et al. Kinetics of the selective catalytic reduction of NO with NH<sub>3</sub> over MnO<sub>3</sub>/Al<sub>2</sub>O<sub>3</sub> catalysts at Iow temperature [ J ]. Catal Today, 1999, **50**(1): 133–140.
- [ 16 ] Prvulescu V I, Grange P, Delmon B. Catalytic removal of NO[ J ]. *Catal Today*, 1998, **46**(4): 233–316.
- [ 17 ] Yu C, Huang B, Dong L, *et al.* In situ FT-IR study of highly dispersed MnO<sub>x</sub>/SAPO-34 catalyst for low-temperature selective catalytic reduction of NO<sub>x</sub> by NH<sub>3</sub> [ J ]. *Catal Today*, 2017, **281**(3): 610–620.
- [ 18 ] Chen Q L, Guo R T, Wang Q S, et al. The catalytic performance of Mn/TiWO<sub>x</sub> catalyst for selective catalytic reduction of NO<sub>x</sub> with NH<sub>3</sub> [ J ]. Fuel, 2016, **181**(5): 852–858.
- [ 19 ] Frisch M, Trucks G, Schlegel H, et al. Gaussian 09, Revision A.1. 2009.
- [20] Li Bao-zhong(李宝忠), Wang Kuan-ling(王宽岭), Li Ying-xia(李英霞). Study on deactivation mechanism of Mn/ZSM-5 catalyst in NH<sub>3</sub>-SCR reaction(NH<sub>3</sub>-SCR 反应中 Mn/ZSM-5催化剂失活机理的研究) [J]. Contem Chem Ind(当代化工), 2022, **51**(5): 1044–1048.
- [21] He M, Zhang J, Sun X, *et al.* The oretical study on methane oxidation catalyzed by Fe/ZSM-5: The significant role of

- water on binuclear iron active sites [ J ]. *J Phys Chem C*, 2016, **120**(11): 27422–27429.
- [ 22 ] Kurnaz E, Fellah M, Onal I. A density functional theory study of C-H bond activation of methane on abridge site of M-O-M-ZSM-5 clusters (M = Au, Ag, Fe and Cu) [ J ]. Micropor Mesopor Mater, 2011, 138(1/3): 68–74.
- [ 23 ] Kijlstra W S, Branda D S, Poels E K, et al. Kinetics of the selective catalytic reduction of NO with NH<sub>3</sub> over MnO<sub>3</sub>/Al<sub>2</sub>O<sub>3</sub> catalysts at Iow temperature [ J ]. Catal Today, 1999, **50**(1): 133–140.
- [24] Zhao Xiao-chuan(赵小川). Insights into the mechanism for the selective catalytic reduction of NO<sub>x</sub> with NH<sub>3</sub> on Mn/ZSM-5: A DFT study(Mn/ZSM-5 催化剂上NH<sub>3</sub>选择性催化还原NO<sub>x</sub>反应机理的密度泛函理论研究)[D]. Taiyuan(太原): Taiyuan University of Technology(太原理工大学), 2017.
- [ 25 ] Ettireddy P R, Ettireddy N, Boningari T, et al. Investigation of the selective catalytic reduction of nitric oxide with ammonia over Mn/TiO<sub>2</sub> catalysts through transient isotopic labeling and in situ FT-IR studies[ J ]. J Catal, 2012, 292(8): 53–63.
- [ 26 ] Inomata M, Miyamoto A, Murakami Y. Mechanism of the reaction of NO and NH<sub>3</sub> on vanadium oxide catalyst in the presence of oxygen under the dilute gas condition [ J ] . *J Catal*, 1980, **62**(1): 140–148.

## Study on NH<sub>3</sub>-SCR Reaction Mechanism over MnZSM-5 Catalyst

LI Bao-zhong<sup>1\*</sup>, WANG Kuan-ling<sup>1\*</sup>, LI Ying-xia<sup>2</sup>

- (1. Dalian Research Institute of Petroleum and Petrochemicals, SINOPEC, Dalian 116045, China;
- 2. State key Laboratory of Chemical Resource Engineering, Beijing University of Chemical Technology, Beijing 100029, China )

**Abstract**: The reaction mechanism of  $NH_3$ -SCR over Mn/ZSM-5 catalyst was studied by density functional theory(DFT) calculations. One is the E-R mechanism in which gaseous NO directly participates in the reaction. NO molecule reacts with [  $NH_2$  ] to produce intermediate [  $NH_2NO$  ], and the energy barrier of the reaction path is 185.05 kJ/mol; The other is the L-H mechanism of adsorbed NO participating in the reaction. [ NO ] reacts with [  $NH_3$  ] to produce [  $NH_2NO$  ]. The energy barrier of the reaction path is 190.27 kJ/mol. Because the reaction energy barriers of the two mechanisms are similar, the reactions following the two mechanisms can proceed at a certain temperature.

Key words: NH<sub>3</sub>-SCR; denitration; catalyst